

## مطالعات زمین‌شناسی، دورسنگی، کانی‌شناسی، دگرسانی و ژئوشیمی منطقه اکتشافی نخیلاب (جنوب‌شرق ایران)

عبدالرحیم باقری‌فر<sup>۱</sup>، سیداحمد مظاہری<sup>۲\*</sup> و آزاده ملک‌زاده شفارودی<sup>۲</sup>

۱- دانشجوی دکترا، گروه زمین‌شناسی، دانشکده علوم، دانشگاه فردوسی مشهد، مشهد، ایران  
۲ و ۳- استاد گروه زمین‌شناسی، دانشکده علوم، دانشگاه فردوسی مشهد، مشهد، ایران

\* Samazaheri2016@gmail.com

نوع مقاله: پژوهشی

دریافت: ۱۴۰۲/۴/۱۳ پذیرش: ۱۴۰۲/۹/۶

### چکیده

منطقه نخیلاب (نخیله) در جنوب‌شرق ایران و در فاصله ۱۴۵ کیلومتری شمال‌غرب زاهدان قرار دارد که از نظر سنگ‌شناسی واحدهای رسوی زون فلیش‌شرق ایران و سنگ‌های آذرین نفوذی و خروجی را شامل می‌شود. همه واحدهای سنگ‌شناسی موجود در این محدوده تحت تأثیر حرکات برشی دو گسل نصرت‌آباد و کهورک قرار گرفته که سبب ایجاد ساختارهای کششی در محدوده شده و احتمالاً موجبات تسهیل جایگیری توده‌های نفوذی شده‌اند. مطالعات صحرایی و آزمایشگاهی کانی‌شناسی نشان داد که فراوان ترین واحد سنگ‌شناسی محدوده از نوع هورنبلندیوریت پورفیری می‌باشد. فراوان ترین کانی‌های اصلی آن، پالایوکلاز نیم‌شکل دار (۷۵-۶۰ درصد)، هورنبلیند (۱۰-۵ درصد)، بیوتیت (۳-۵ درصد)، کوارتز و کلینوپیروکسن (حدود ۵ درصد) هستند. کانی‌های مهم کالکوپیریت، بورنیت، کالکوسیت، کولولیت و پیریت در مطالعات مقاطع صیقلی دیده می‌شوند که در توالی پاراژن، کانی‌های پیریت، کالکوپیریت و اسفالریت در مراحل اولیه (هیپوژن) و کانی‌های بورنیت، کالکوسیت و کولولیت کانی‌های ثانویه و متعلق به مرحله سوپرژن هستند. مطالعات دورسنگی بیانگر وجود دگرسانی‌های آرژیک، پروپلتیک، فیلیک و اکسیدهای آهن می‌باشد. بررسی‌های سنگ‌نگاری و ژئوشیمیایی نشان داد که سنگ‌های آذرین در محدوده گابرو تا گرانودیوریت و ترکیب شیمیایی سنگ‌های آذرین در محدوده سنگ‌های بازیک، متوسط تا اسیدی است که عمدتاً به ترتیب فراوانی از نوع دیوریت، آندزیت، گرانودیوریت و گابرو هستند. مقدار غنی‌سازی LREE آشکارتر است، همچنین نتایج تفسیر نمودارهای تعیین محیط تکتونیکی نیز نشان می‌دهد که تمامی نمونه‌های محدوده مورد مطالعه در محیط قوس حاشیه قاره‌ای پس از تصادم قرار دارند.

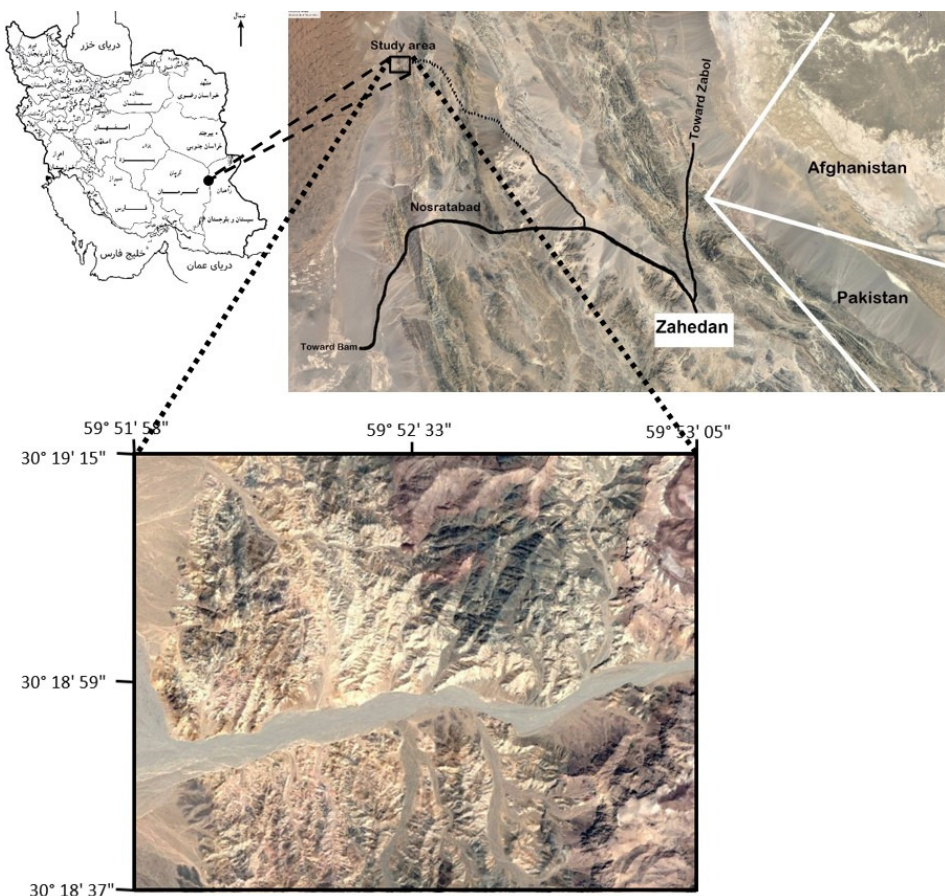
**واژه‌های کلیدی:** نخیلاب، دورسنگی، دگرسانی، کانی‌شناسی، ژئوشیمی

کانسارهای اپی‌ترمال و پورفیری در شرق بلوك لوت و خصوصاً در شمال محدوده نخیله صورت گرفته که از آن جمله می‌توان به مناطق چاه‌شلمجمی (ارجمندزاده و همکاران، ۱۳۹۰)، ماهرآباد و خوپیک (ملک‌زاده شفارودی و همکاران، ۱۳۹۳) اشاره کرد. مطالعات پتروزنزی و سن‌سنگی ماهرآباد و خوپیک که در شمال محدوده مورد مطالعه انجام شده می‌تواند راهنمای اکتشافی مفیدی برای این منطقه محسوب شود. محدوده کانی‌زایی نخیلاب چون از لحاظ تکتونیکی در محل زون فروزانش بلوك لوت در غرب و بلوك افغان در شرق قرار گرفته و همچنین به دلیل قرار گرفتن در بین دو گسل امتدادلغز نصرت‌آباد (انشعاب جنوب شرقی پایانه نهیانه جنوی گسل نهیاند) و کهورک و حرکات جنبشی این دو گسل، کنترل ساختاری شده است (باقری فر و همکاران، ۱۴۰۰). مطالعات کانی‌شناسی و

۱- پیشگفتار  
محدوده نخیلاب (نخیله) در جنوب‌شرق ایران، در استان سیستان و بلوچستان و با فاصله ۱۴۵ کیلومتری شمال‌غرب شهر زاهدان و در موقعیت جغرافیایی "۳۰° ۱۸' ۳۷" تا "۱۵° ۱۹' ۳۰" عرض شمالی و "۵۹° ۵۱' ۵۸" طول شرقی واقع شده است. (شکل ۱).  
محدوده نخیله از نظر زمین‌ساختی با توجه به تقسیم‌بندی پهنه‌های رسوی - ساختاری عده ایران (آقانباتی، ۱۳۸۳) در مرز بین زون فلیش‌شرق ایران و بلوك لوت قرار می‌گیرد. از آنجایی که گسل کهورک (انشعاب جنوب‌غربی پایانه جنوبی گسل نهیاند) واحدهای سنگ‌شناسی غرب محدوده را به یکباره از بلوك لوت جدا می‌کند، به نظر می‌رسد این محدوده بخشی از زون فلیش شرق ایران باشد. در سالیان اخیر مطالعات اکتشافی زیادی بر روی انواع

اقتصادی این پژوهش سعی دارد تا با بهره‌گیری از یافته‌های نوین زمین‌شناسی، کانی‌شناسی، دورسنگی، دگرسانی و ژئوشیمی به اکتشاف بهتر و دقیق‌تر این کانسار کمک شود. قبل از این، مطالعات ژئوشیمیایی رسوبات آبراهه‌ای از سوی سازمان زمین‌شناسی و دانشگاه سیستان و بلوچستان در این محدوده انجام شده است (هدایتی و همکاران، ۱۳۹۳؛ یاوری و همکاران، ۱۳۹۲).

پتروگرافی نشان از وجود سنگ‌های آذرین پورفیری دیوریتی و کوارتزدیوریتی در محدوده نخیله می‌باشد. از آنجایی که این محدوده براساس شواهد و مطالعات اولیه وجود انواع دگرسانی‌های آرژیلیک، پروپلتیک، سرسیتی و گوسن‌های غنی از کانی‌زایی مس و وجود آنومالی‌هایی از کانی‌زایی طلا، می‌تواند در گروه کانسارهای مس پورفیری قرار گیرد، بنابراین با استفاده از دانش زمین‌شناسی



شکل ۱. راه‌های دسترسی به محدوده مورد مطالعه

Fig. 1. Access roads to study area

سنگی سالم و کمتر دگرسان شده جهت تعیین اکسیدهای اصلی با روش XRF با حد تشخیص  $0/0.5$  تا  $0/0.05$  درصد وزنی و عناصر فرعی و ناچیز با روش ICP-MS توسط شرکت آنالیز مواد معدنی زرآرما با حد تشخیص برای عناصر کمیاب بین  $1 \text{ ppm}$  تا  $10 \text{ ppm}$  مورد تجزیه قرار گرفت. آنالیز نمونه‌های انتخابی از واحدهای دگرسان شده جهت تفکیک و شناسایی کانی‌های رسی به روش XRD در آزمایشگاه سازمان زمین‌شناسی واحد تبریز انجام شد.

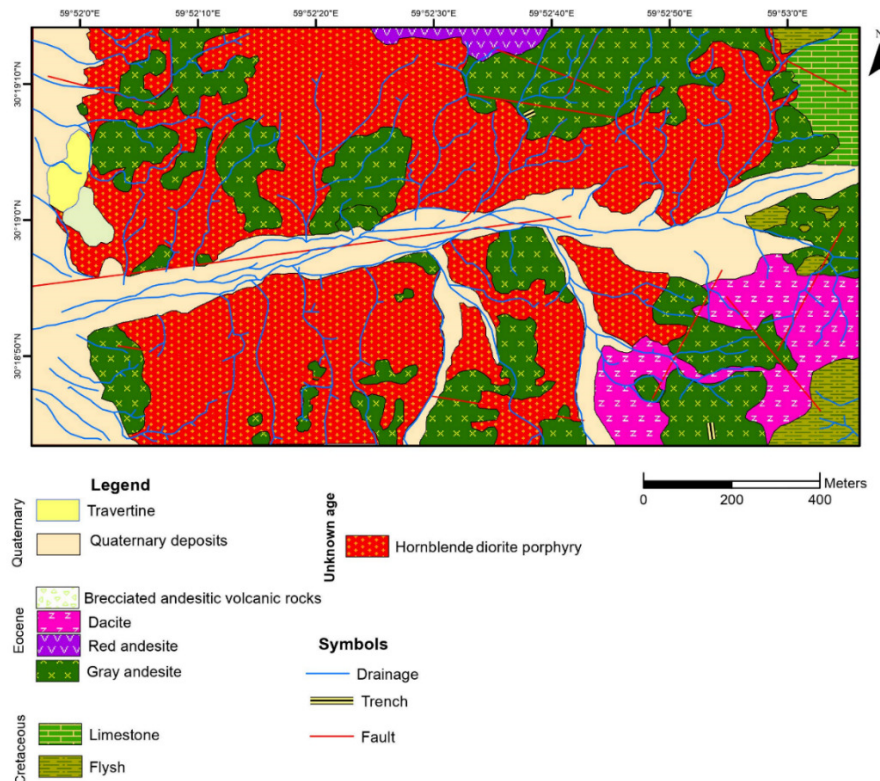
## ۲- روش مطالعه

با انجام دقیق عملیات صحرایی و تفکیک واحدهای سنگی و بررسی‌های میکروسکوپی و پتروگرافی سنگ‌های آذرین با حداقل دگرسانی، نقشه زمین‌شناسی  $1:20000$  از محدوده تهیه شد (شکل ۲). با استفاده از تصاویر ماهواره‌ای LANDSAT و نرم‌افزارهای ویژه پردازش نظری ASTER و SAM و به کمک تکنیک‌های RGB و ENVI 4.5 Win تفکیک لیتولوژی‌ها و آلتراسیون‌های موجود در محدوده انجام گرفت. همچنین نمونه‌های مناسب از واحدهای

سنگ‌آهک‌های کرتاسه قدیمی‌ترین واحدهای زمین‌شناسی محدوده بوده که عمدها در نواحی شرقی متتمرکز هستند. واحدهای گسترده آندزیتی سبز و قرمز و همچنین نفوذی‌های تونالیتی به سن ائوسن درون واحدهای رسوبی جای گرفته‌اند. جدیدترین واحدهای آذرین محدوده، توده‌های نفوذی دیوریتی هستند که واحدهای آندزیتی را تحت تأثیر قرار داده‌اند (شکل ۲).

### ۳- بحث و بررسی

سامانه گسلی نصرت‌آباد و کهورک زمین‌های پست بلوکلوت و افغانستان و رشته کوه‌های شرق ایران را قطع می‌کند (والکر و همکاران، ۲۰۰۶). حرکات برشی و امتدادلنز این دو گسل احتمالاً سبب ایجاد محیط‌تکتونیکی با ساختارهای کششی در محدوده نخیله شده که احتمالاً به دنبال آن رگه‌های پیریتی نیز در امتداد برخی از این ساختارها جهت‌گیری شده‌اند. واحدهای رسوبی فلیش و



شکل ۲. نقشه زمین‌شناسی ۱:۲۰۰۰۰ محدوده نخیله (باقری‌فر و همکاران، ۱۳۹۸)  
Fig. 2. The 1:20000 geological map of Nakhileh area (Baghrifar et al., 2018)

است و یک مرز تدریجی بین این دو نوع سنگ وجود دارد. پس زمینه بیشتر از بلورهای پلاژیوکلаз تشکیل شده و بلورهای درشت بیشتر پلاژیوکلاز، آمفیبول و بیوتیت هستند. پیریت‌های ریز در برخی از نمونه‌های سالم و دگرسان نشده وجود دارند. کانی‌های تشکیل‌دهنده شامل بلورهای بزرگ تا نیمه‌شكل‌دار پلاژیوکلاز (۶۵-۷۵٪)، هورنبلندر (۵-۱۰٪)، بیوتیت و کلینوپیروکسن (حدود ۵-۱۰٪) و کوارتز (حدود ۵٪) هستند. در برخی از نمونه‌ها، ترکیب سنگ نزدیک به کوارتز‌دیوریت است. حداقل اندازه فنوکریست‌ها ۰.۵ میلی‌متر است. پیریت

سنگ‌شناسی گسترده و غالباً در محدوده، دیوریت‌پورفیری است. رنگ دیوریت‌پورفیری در نمونه‌های دستی از خاکستری روشن تا خاکستری تیره متفاوت است. مناطقی که تحت تأثیر آلتراسیون قرار گرفته‌اند، به رنگ خاکستری روشن و مناطق سالم به رنگ خاکستری تیره دیده می‌شوند. نمونه‌هایی که دارای پس زمینه بلوری درشت‌تر و دارای حجم بیشتری از بلورهای درشت‌تر هستند، به نام دیوریت‌پورفیری، با همان نوع کانی‌شناسی با اندازه‌های ریزتر آندزیت‌ها هستند. تشخیص آندزیت‌ها از معادلهای نفوذی که دارای بافت پورفیری هستند، گاهی اوقات دشوار

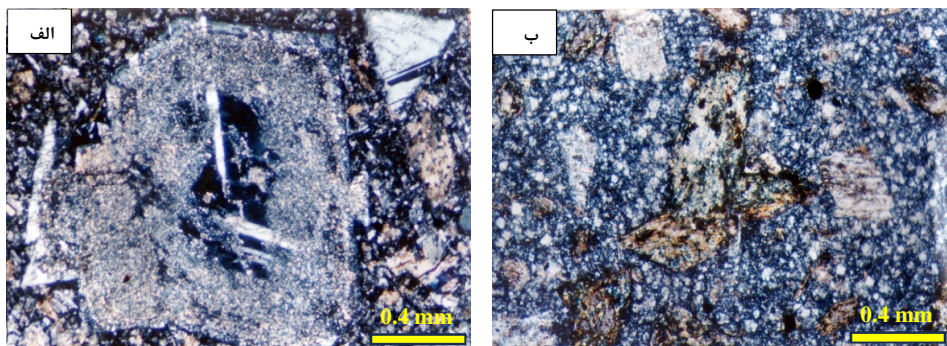
و کلریت، و پلازیوکلازها به سریسیت و کلسیت تبدیل شده‌اند (شکل ۴). بسیاری از پلازیوکلازها در مقاطع دیوریتی دارای ماکل، خوردگی و منطقه‌بندی هستند که افزایش نرخ صعود ماقما و کاهش ناگهانی فشار و اختلاط فیزیکی ناقص در سطح پوسته‌های کم عمق باعث ایجاد چنین تغییراتی در ویژگی‌های بافتی پلازیوکلاز، از جمله خوردگی و منطقه‌بندی می‌شود (فیلیپ و همکاران، ۲۰۰۷) (شکل ۵ ب).

کانی تیره غالب در اکثر دیوریت‌ها بوده که در نمونه‌های دستی و مقاطع میکروسکوپی به عنوان دانه‌های ریز پراکنده دیده می‌شود (شکل‌های ۳ الف و ۵ الف). در مناطقی که آندزیت‌ها در آن حضور دارند، وجود لکه‌های بزرگ اپیدوت باعث ایجاد رنگ سبز در آن محدوده شده است (شکل ۳ ب). مطالعات میکروسکوپی و میدانی نشان می‌دهد که بخش بزرگی از این سنگ‌شناسی در محدوده به شدت دگرسان شده است. فنوکریست‌های آهن و منیزیم‌دار بیوتیت، آمفیبول و پیروکسن عمده‌ای به اپیدوت



شکل ۳. الف) ذرات ریز و پراکنده Py درون دیوریت و ب) لکه‌های بزرگ اپیدوت درون آندزیت‌های سبز.

Fig. 3. A) Fine and scattered Py particles inside the diorite. B) Large patches of epidote within green andesites.



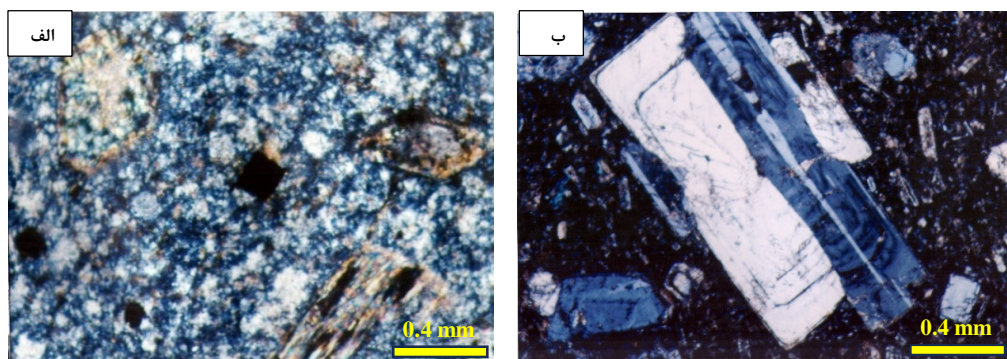
شکل ۴. الف) تبدیل پلازیوکلازها به سریسیت و کلسیت و ب) تبدیل فرمونیزین‌ها به اپیدوت و کلریت

Fig. 4. A) Transformation of plagioclase into sericite and calcite. B) Conversion of ferromagnesian minerals to epidote and chlorite.

موسکویت در باند ۴ نسبت به باندهای ۶ و ۸ بازتابندگی بالاتری دارند (فرانسیسکو و همکاران، ۲۰۱۸). لذا به منظور مشاهده مناطق دگرسان در این محدوده، ابتدا از ترکیب باندی ۴۶۸ RGB استفاده شد. در این ترکیب باندی، کانی‌های مربوط به زون پروپلتیک در بخش بالا و پایین محدوده به رنگ سبز تیره و روشن و کانی‌های مربوط به زون آژیلیکی به رنگ صورتی در بخش مرکزی محدوده و کربنات‌ها به رنگ زرد تا قهوه‌ای مشاهده می‌گردد (شکل ۴).

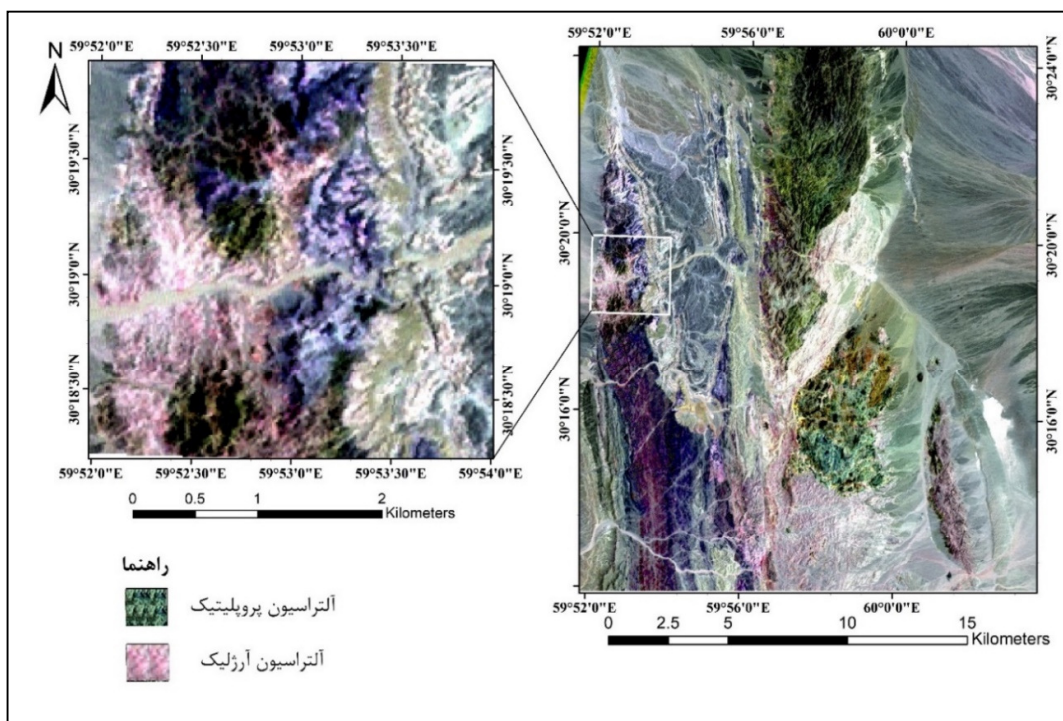
### ۱-۳- دورسنجی

بر اساس تحلیل‌های تجربی و مطالعات قبلی برای مشاهده مناطق دگرسان شده، ترکیب باندی ۴، ۶، ۸ = RGB یکی از مناسب‌ترین ترکیب‌های رنگی برای شناسایی مناطق دگرسانی در اغلب کانسالرها به ویژه مس پورفیری و طلای ابی‌ترمال می‌باشد. با استفاده از باندهای ۶ و ۸ می‌توان کانی‌های آلومینیوم‌دار مانند کانی‌های ایلیت، کائولینیت، آلونیت و یا مسکویت - سریسیت را از کانی‌هایی مانند کلریت، اپیدوت و یا کربنات تشخیص داد (جانسی و همکاران، ۲۰۱۱). همچنین کانی‌های آلونیت، کائولینیت و



شکل ۵. الف) ذرات ریز و پراکنده Py درون دیوریت‌ها و ب) محدوده‌بندی پلاژیوکلаз‌ها در دیوریت‌ها

Fig. 5. A) Fine and scattered Py particles inside the diorites. B) Zoning of plagioclase in diorites.

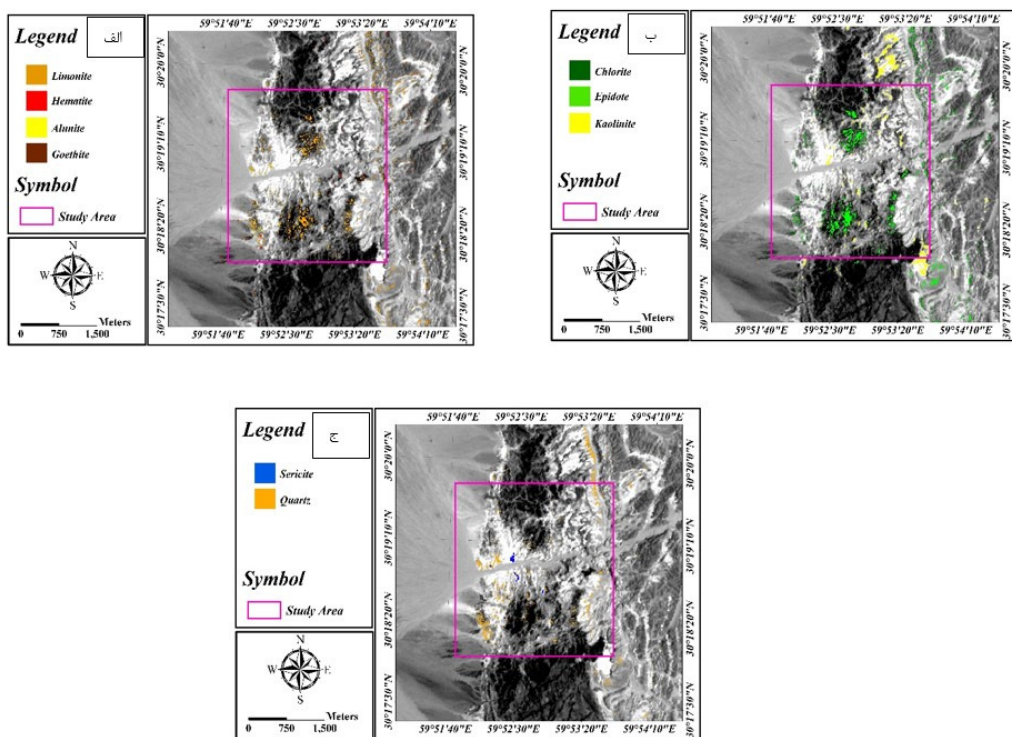


شکل ۶. RGB: 468، برای تفکیک دگرسانی پروپلیتیک و آرژیلیکی محدوده در تصاویر استر

Fig. 6. RGB: 468, for propylitic and argillic alterations separation at ASTER images.

قابلیت تفکیک و شناسایی بهتری دارند. همچنین با اعمال روش SAM بر روی داده‌های سنجنده ASTER مناطق دارای آلتراسیون‌های فیلیک، پروپلیتیک و آرژیلیک بخوبی آشکارسازی می‌شوند. از روش پهنه‌بندی زاویه طیفی برای کانی‌های شاخص دگرسانی فیلیک (سرسیتی) و کانی‌های شاخص پروپلیتیک (اپیدوت، کلریت و کلسیت) و کانی‌های شاخص آرژیلیکی (کائولینیتی) از کتابخانه طیفی USGS استفاده شده است (شکل ۷).

از روش (SAM) جهت شناسایی دقیق نوع و محل کانی‌ها، گسترش و شدت دگرسانی با تفکیک زون‌های مختلف استفاده می‌شود (کروز و همکاران، ۱۹۹۳). داده‌های سنجش از دور فراتریفی بهترین ابزار و داده‌های چند طیفی یکی از بهترین ابزارها برای نقشه‌برداری از سنگ‌های دگرسان شده هستند (پنگی و همکاران، ۲۰۲۱). با اعمال روش‌های نقشه‌برداری زاویه طیفی بر روی داده‌های سنجنده OLI به دلیل بالابودن تعداد باندهای VNIR نسبت به سنجنده ASTER مناطق دارای اکسیدهای آهن

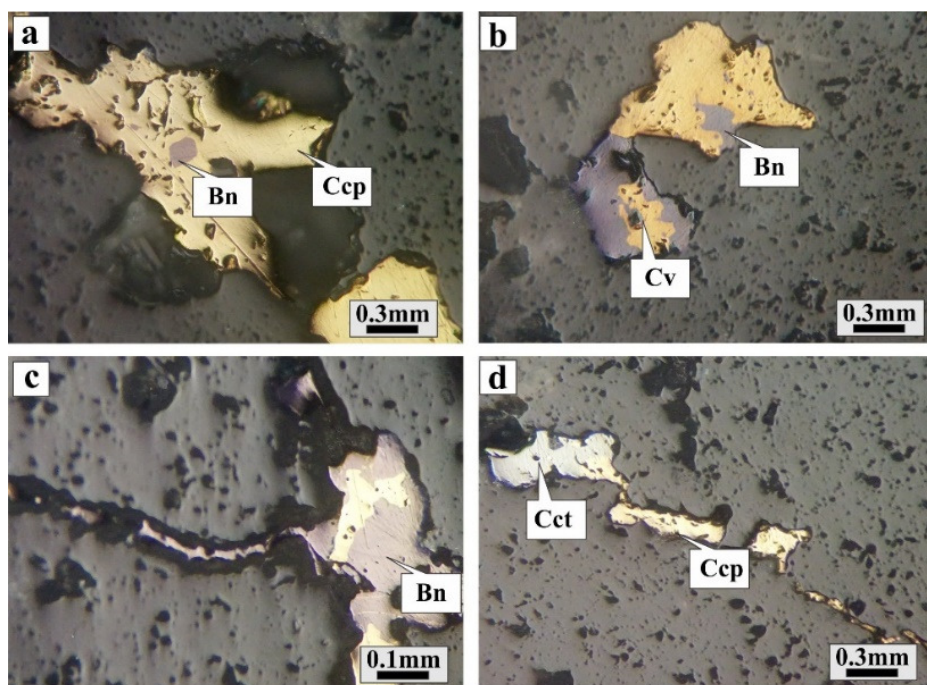


شکل ۷. (الف) گسترش اکسیدهای آهن؛ (ب) گسترش پروپولیتیکی و (ج) گسترش فیلیک  
Fig. 7. A) Spread of iron oxides. B) Propylitic spread. C) Phyllitic spread.

دارند. اندازه آن‌ها بین ۰/۱ تا ۰/۶ میلی‌متر متغیر است. نوع کانی‌سازی بورنیت نیز بصورت پراکنده و رگچه‌ای دیده می‌شود. ضخامت رگچه‌های بورنیت حدود ۰/۱ میلی‌متر برآورد می‌شود. کانی اسفالریت به صورت پراکنده درون رگچه‌های سیلیسی دیده می‌شود و فراوانی در حدود ۲ درصد دارد. اندازه این کانی بین ۰/۵ تا ۰/۱ میلی‌متر متغیر است. درصد تبدیل کالکوپیریت به بورنیت از ۰ تا ۳۰ درصد در مقاطعه متغیر است. همچنین درصد تغییرات بورنیت به کوولیت بین ۰ تا ۱۰ درصد برآورد می‌شود. کالکوسیت در اکثر مقاطعه دیده نمی‌شود و در مقاطعه هم که وجود دارد فراوانی در حدود کمتر از ۲ درصد را به خود اختصاص می‌دهد. اندازه این کانی در حدود ۰/۳ میلی‌متر (میانگین) بوده و از دگرسانی بخشی کانی کالکوپیریت ایجاد شده است. پیریت با فراوانی حدود ۵ تا ۱۰ درصد و اندازه‌های بین ۰/۱ تا ۰/۵ میلی‌متر و به صورت پراکنده در مقاطعه دیده می‌شود. در توالی پاراژنر، کانی‌های پیریت، کالکوپیریت و اسفالریت در مراحل اولیه (هیپوژن) و کانی‌های بورنیت، کالکوسیت و کوولیت از کانی‌های ثانویه و مرحله سورپرژن می‌باشند (شکل‌های ۸ و ۹).

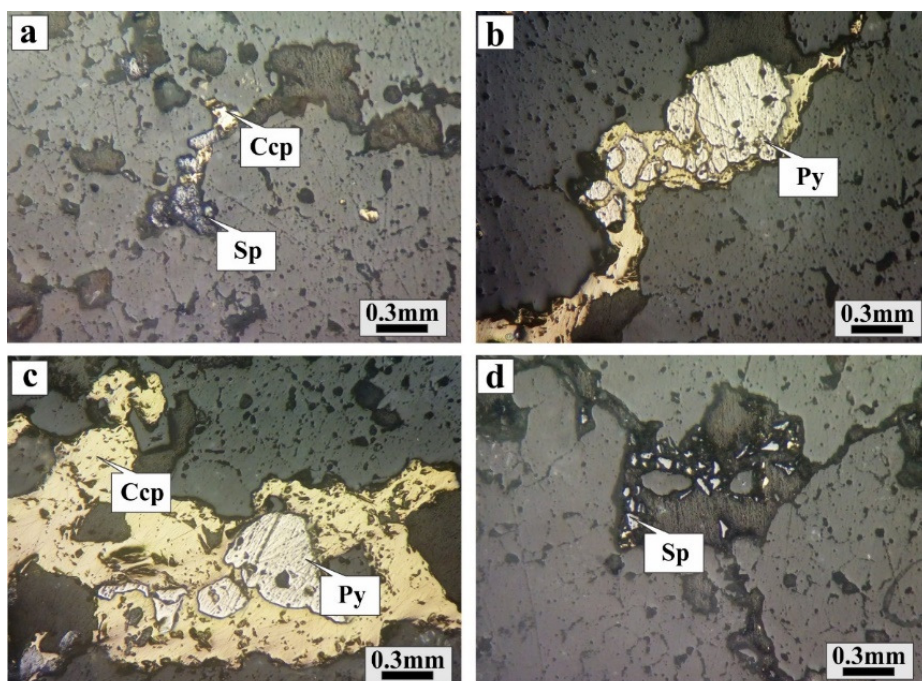
### ۲-۳- کانی‌سازی

کانی‌سازی عمدتاً در واحدهای دیوریتی و آندزیتی و به دو صورت پراکنده و رگچه‌ای دیده می‌شود. در نمونه‌های مورد مطالعه کانی‌هایی مثل پیریت، کالکوپیریت و اسفالریت بصورت کانی اولیه و کانی‌هایی نظیر بورنیت، کالکوسیت و کوولیت بصورت کانی‌های ثانویه وجود دارند. پیریت‌ها با ظاهر گردشده و حالت‌های تجزیه شده دیده می‌شوند که بیانگر تقدم تشکیل آن نسبت به سایر کانی‌ها می‌باشد. بر همین اساس کالکوپیریت‌ها در مراحل بعدی و نهایتاً اسفالریت‌ها تشکیل شده‌اند. کوارتزهای خاکستری در اکثر مقاطعه وجود دارند. کالکوپیریت کانی سولفیدی غالب در اکثر مقاطعه است و فراوانی در حدود ۵ تا ۱۰ درصد دارد. اندازه این کانی بین ۰/۱ تا ۰/۳ میلی‌متر و میانگین حدود ۰/۵ میلی‌متر متغیر است. این کانی به دو صورت پراکنده و رگچه‌ای وجود دارد و ضخامت رگچه‌های آن در حدود ۰/۱ تا ۱ میلی‌متر برآورد می‌شود. کالکوپیریت‌ها در برخی مقاطعه به علت فرآیندهای دگرسانی و جانشینی‌های ثانویه به کالکوسیت و بورنیت تبدیل شده است. بورنیت‌ها هم در ادامه این فرآیند به کوولیت تبدیل شده‌اند. بورنیت‌ها با رنگ بنفش مایل به صورتی، فراوانی در حدود ۲ تا ۵ درصد



شکل ۸. a) کالکوپیریت (Ccp) و بورنیت (Bn). b) بورنیت (Bn) و دگرسانی آن به کوولیت (Cy). c) بورنیت (Bn). d) کالکوپیریت رگچه‌ای و کالکوسیت (Cct) که از دگرسانی کالکوپیریت بوجود آمده است (بر اساس ویتنی و اونس، ۲۰۱۰).

Fig. 8. a) Chalcopyrite (Ccp) and Bornite (Bn). b) Bornite (Bn) and its transformation to Covellite (Cy). c) bornite (Bn). d) Veinlet chalcopyrite (Ccp) and chalcocite (Cct) formed from chalcopyrite alteration (based on Whitney and Evans, 2010)



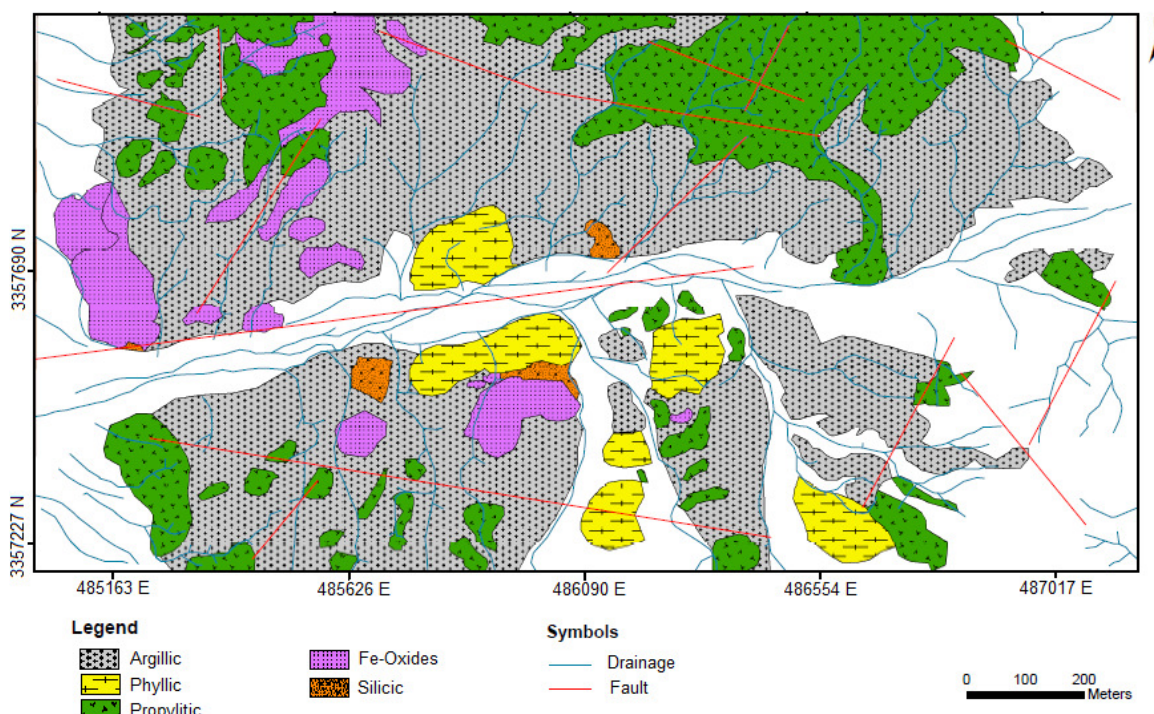
شکل ۹. a) کالکوپیریت (Ccp) و اسفالریت (Sp). b) پیریت (Py). c) Amorphous pyrite (Py) within chalcopyrite (Ccp). d) اسفالریت (Sp). (بر اساس ویتنی و اونس، ۲۰۱۰).

Fig. 9. a) Chalcopyrite (Ccp) and sphalerite (Sp). b) Pyrite (Py). c) Amorphous pyrite (Py) within chalcopyrite (Ccp). d) sphalerite (Sp). (based on Whitney and Evans, 2010).

و کوارتز دیوریت پورفیری را تحت تأثیر قرار داده است. در برخی از مناطق خصوصاً در مرکز و غرب پیریت‌های موجود در این واحدها به علت تأثیر عوامل اکسیداسیون، به اکسیدهای آهن نظیر هماتیت، گوتیت و جاروسیت تبدیل شده‌اند (شکل ۱۱). همچنین در مناطقی که تحت تأثیر آلتراسیون فیلیک قرار گرفته‌اند به علت انحلال کانی‌های سولفیدی، آثار و قالب‌های باقی‌مانده آن‌ها در سطح سنگ بخوبی دیده می‌شود (شکل ۱۱).

### ۳-۳- دگرسانی

بر اساس بررسی‌های میدانی و مطالعات آزمایشگاهی و نرم‌افزاری، دگرسانی آرژیلیک و پروپلتیک گستردگه‌ترین آلتراسیون‌های موجود در محدوده مطالعه هستند. پس از آن به لحاظ وسعت، آلتراسیون فیلیک قرار دارد. همچنین به میزان بسیار کمتر اکسیدهای آهن و سیلیسی شدن نیز بصورت پراکنده دیده می‌شوند (شکل ۱۰). آلتراسیون آرژیلیکی واحدهای هورنبلند دیوریت پورفیری



شکل ۱۰. نقشه گسترده‌گی آلتراسیون‌های محدوده نخله (باقری‌فر و همکاران، ۱۴۰۰)

Fig. 10. The alterations spread map of nakhileh area (Bagherifar et al. 2021)



شکل ۱۱. آثاری از جاروسیت و حفرات انحلالی باقی‌مانده از انحلال کانی‌های سولفیدی

Fig. 11. Traces of jarosite and dissolution pores that are left from the dissolution of sulfide minerals

فیلیک دما پایین می‌باشد. در نمونه‌های دیوریت پورفیری دگرسان شده که احتمالاً متعلق به شدت متوسط تا بالای زون فیلیک می‌باشند به علت پیشرفت فرآیندهای آلتراسیون تشخیص بین مرز دیوریت‌ها و آندزیت‌ها دشوار شده است.

#### ۴-۳- ژئوشیمی عناصر اصلی و کمیاب

۲۵ نمونه از سنگ‌های سالم و غیرآلتره برای اندازه‌گیری عناصر اصلی توسط XRF انتخاب شدند. با توجه به تحلیل نتایج ژئوشیمیابی عناصر اصلی، محتوای  $\text{SiO}_2$  سنگ‌های نفوذی از ۷۴/۵۶ تا ۴۷/۰۵ درصد وزنی متغیر است.  $\text{K}_2\text{O}$  از ۰/۵۳ تا ۰/۱۵ درصد وزنی متغیر است و نسبت  $\text{K}_2\text{O}/\text{Na}_2\text{O}$  بین ۰/۱۹ و ۱/۳۹ است (جدول ۱).

نتایج آنالیزهای XRD از این سنگ‌ها نشان داد که مهم‌ترین کانی‌های رسی تشکیل شده در این دگرسانی عمدتاً از نوع کائولینیت، مونتموریلونیت، ایلیت، پیروفیلیت و مقدار کمتری پالیگورسکیت است. آلتراسیون پروپلتیکی با حضور کانی‌های شاخص کلریت و اپیدوت‌های بزرگ، منطبق بر واحدهای آندزیتی سبز رنگ دیده می‌شود. حضور اپیدوت و کلریت در سنگ‌های آلتره شده بیانگر دمایی حدود ۲۲۰ تا ۳۴۰ درجه سانتی‌گراد است (دورا و همکاران، ۲۰۱۵). این واحدها و آلتراسیون پروپلتیکی مربوط به آن‌ها در این محدوده قادر کانی‌سازی مهم و ارزشمند می‌باشد. عمدۀ کانی‌زایی‌ها در زون فیلیک مشاهده می‌شود. در نمونه‌های سالم دیوریت پورفیری، کانی‌های سولفیدی به کانی‌های ثانویه (خصوصاً گوتیت) تبدیل نشده‌اند و احتمالاً متعلق به زون استوکورک و یا

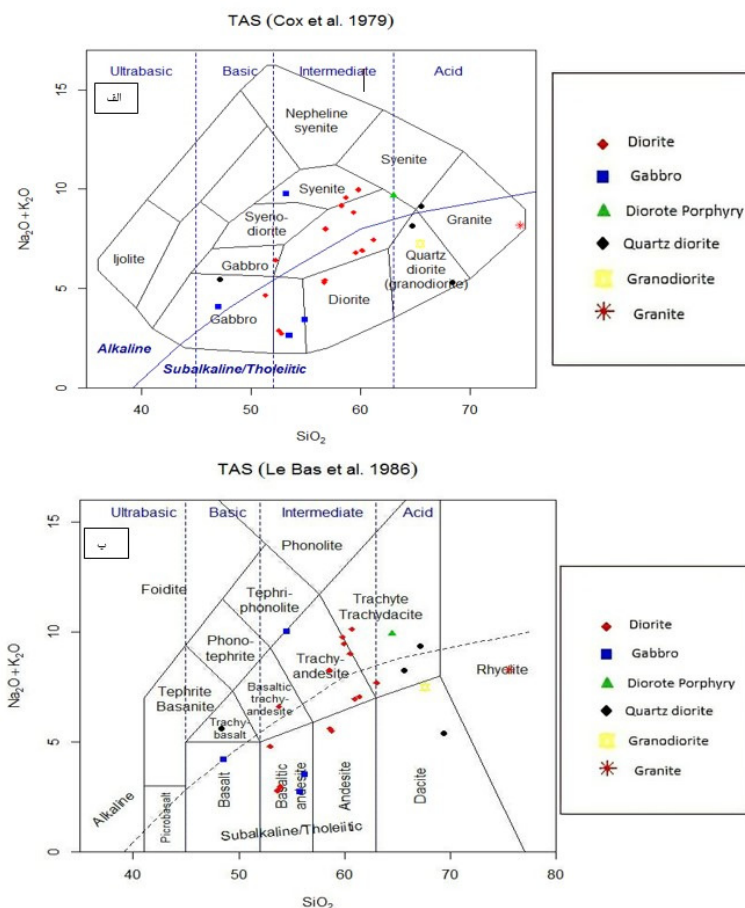
جدول ۱. نتایج آنالیز ۲۵ XRF نمونه از سنگ‌های سالم و غیرآلتره

Table 1. Results of XRF analysis from 25 samples of fresh and non-altered rocks

Sample	$\text{SiO}_2$	$\text{Al}_2\text{O}_3$	$\text{TiO}_2$	* $\text{Fe}_2\text{O}_3$	$\text{MnO}$	$\text{CaO}$	$\text{MgO}$	$\text{K}_2\text{O}$	$\text{Na}_2\text{O}$	$\text{P}_2\text{O}_5$	$\text{SO}_3$	$\text{Cr}_2\text{O}_3$	LOI	TOTAL	$\text{K}_2\text{O}/\text{Na}_2\text{O}$
NKH-1	64.72	17.13	0.8	5.22	0.19	1.56	0.7	3.57	4.57	0.17	0.2	0.01	1.12	99.96	0.78
NKH-2	58.25	18.21	0.72	8.63	0.1	1.13	0.58	3.46	5.72	0.32	0.13	0.01	2.66	99.92	0.6
NKH-3	53.22	17.92	0.55	13.83	0.03	1.55	0.31	3.2	6.57	0.36	0.11	0.01	2.21	99.87	0.48
NKH-4	59.35	17.44	0.85	9.84	0.04	1.12	0.34	5.15	3.68	0.21	0.05	0.01	1.78	99.86	1.39
NKH-5	62.98	17.12	0.55	5.21	0.01	1.75	0.17	2.35	7.33	0.18	0.05	0.01	2.16	99.87	0.32
NKH-6	56.83	17.2	0.55	9.45	0.05	2.17	2.53	3.29	4.71	0.2	0.11	0.01	2.7	99.8	0.69
NKH-7	52.24	19.45	0.64	7.72	0.19	6.94	3.25	1.62	4.79	0.25	0.05	0.01	2.82	99.97	0.33
NKH-8	68.35	12.31	0.23	8.89	0.46	2.27	0.58	1.52	3.77	0.09	0.45	0.01	1	99.93	0.4
NKH-9	65.54	14.72	0.46	3.51	0.05	2.64	1.45	4.83	4.31	0.11	0.15	0.01	2.15	99.93	1.12
NKH-10	47.2	17.29	0.89	11.31	0.24	7.66	7.42	1.12	4.34	0.18	0.05	0.01	2.27	99.98	0.25
NKH-11	61.19	16.51	0.39	4.6	0.13	4.55	1.99	2.51	4.95	0.22	0.05	0.01	2.76	99.86	0.5
NKH-12	65.42	15.5	0.34	2.94	0.08	3.64	1.44	1.82	5.43	0.16	0.95	0.01	3.11	100.8	0.33
NKH-13	74.56	12.62	0.32	1.95	0.02	0.67	0.3	3.11	5.07	0.05	0.09	0.01	1.07	99.84	0.61
NKH-14	52.79	14.47	0.74	10.05	0.18	8.79	8.42	0.53	2.2	0.16	0.24	0.05	1.52	100.1	0.24
NKH-15	47.05	18.47	0.95	9.18	0.18	10.43	6.4	1.02	3.05	0.16	0.05	0.01	2.93	99.88	0.33
NKH-16	51.34	17.14	0.88	8.99	0.17	8.71	4.82	1.18	3.46	0.22	0.05	0.01	2.93	99.9	0.34
NKH-17	54.92	15.98	0.78	9.16	0.18	8.45	4.58	1.08	2.34	0.23	0.05	0.01	2.19	99.95	0.46
NKH-18	53.5	16.21	0.75	9.34	0.21	8.52	4.57	0.53	2.08	0.21	0.11	0.01	3.98	100	0.25
NKH-19	59.55	16.26	0.56	6.62	0.07	4.36	3.26	2.93	3.86	0.22	0.09	0.01	2.19	99.98	0.75
NKH-20	56.74	15.63	0.68	7.1	0.18	7.25	3.61	1.56	3.85	0.19	0.13	0.01	2.85	99.78	0.4
NKH-21	59.8	18.44	0.52	4.51	0.09	2.87	2.03	1.62	8.36	0.29	0.05	0.01	1.36	99.95	0.19
NKH-22	52.56	16.99	0.76	9.64	0.21	8.91	5.34	0.65	2.23	0.17	0.05	0.01	2.31	99.83	0.29
NKH-23	60.15	16.71	0.5	5.54	0.14	5.22	2.51	2.36	4.55	0.23	0.05	0.01	1.97	99.94	0.51
NKH-24	58.68	18.48	0.52	4.93	0.1	3.16	2.31	1.84	7.75	0.3	0.09	0.01	1.8	99.97	0.23
NKH-25	56.7	15.65	0.68	6.9	0.18	7.2	3.65	1.52	3.78	0.19	0.13	0.101	2.8	99.48	0.4

قلیایی- سیلیس (لیبس و همکاران، ۱۹۸۶) (TAS)، در محدوده بازالت تاریولیت قرار دارند (شکل ۱۲ ب). بنابراین ترکیب شیمیایی سنگ‌های آذرین، در محدوده سنگ‌های بازیک، متوسط تا اسیدی است که به ترتیب فراوانی از نوع دیوریت، آندزیت، گرانودیوریت و گابرو هستند (شکل ۱۲ الف و ب).

نمودار طبقه‌بندی قلیایی سیلیس کل (کاکس و همکاران، ۱۹۷۹) (TAS) برای دسته‌بندی سنگ‌های آذرین استفاده می‌شود. سنگ‌های آذرین نفوذی در محدوده مورد مطالعه دارای محدوده ترکیب شیمیایی گابرو، دیوریت، سینیت تا گرانودیوریت هستند (شکل ۱۲ الف). با توجه به ترکیب شیمیایی نمونه سنگ‌های آذرین خروجی که عمدتاً از سنگ‌های سالم انتخاب شده بودند و نمودار طبقه‌بندی کل



شکل ۱۲. (الف) موقعیت سنگ‌های نفوذی محدوده نخیله در طبقه‌بندی کاکس و همکاران، ۱۹۷۹ و (ب) موقعیت سنگ‌های خروجی محدوده در طبقه‌بندی لی‌باس و همکاران، ۱۹۸۶.

Fig. 12. A) The position of the intrusive rocks of Nakhileh area in the classification of Cox et al., 1979, B) The position of the extrusive rocks of Nakhileh area in the classification of Le Bas et al., 1986

تبلور است (ویلسون و همکاران، ۱۹۸۹). بنا بر این روش، با نزدیک شدن به مراحل نهایی تمایز، پلاژیوکلازهای غنی از سدیم و هورنبلند و بیوتیت ظاهر می‌شوند. کاهش مقدار  $MgO$  در مقابل افزایش  $SiO_2$  به دلیل تشکیل کانی‌های حاوی منیزیم مانند اولیوین و پپروکسن در ابتدای فرآیند تبلور است (موراتا و همکاران، ۱۹۰۳).

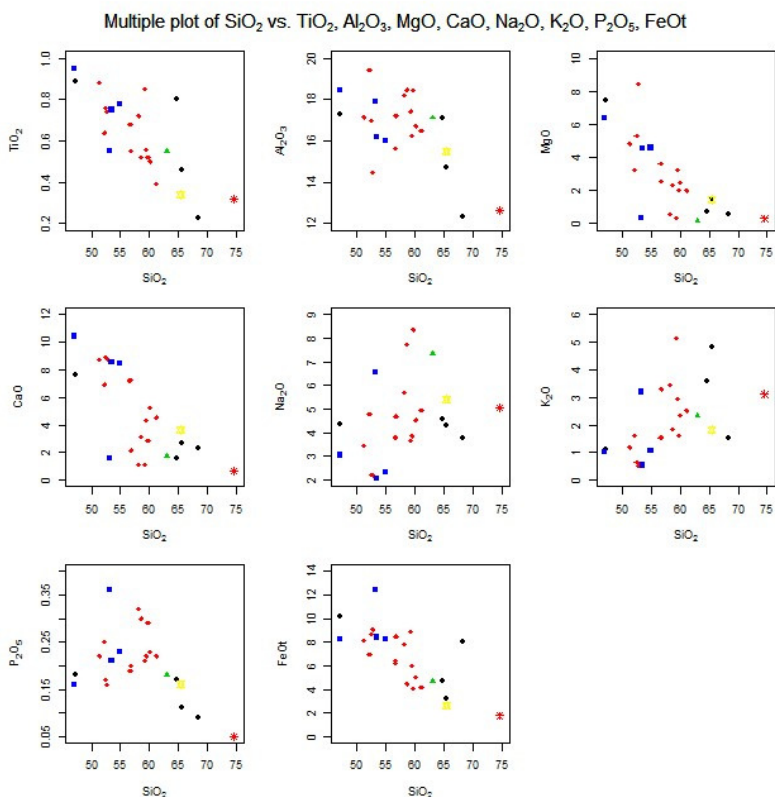
الگوهای REE در بیشتر سنگ‌های آذرین محدوده نخیلاب تقریباً مشابه است و الگوی متفاوت برخی از عنصر ممکن است به دلیل اشتباه در تحلیل یا اثر دگرسانی باشد. عناصر REE در تمام نمونه‌ها در مقایسه با مقادیر آن‌ها در ترکیب کندریت‌ها غنی‌سازی را نشان می‌دهد و میزان غنی‌سازی LREE نسبت به HREE آشکارتر است (شکل ۱۴ الف و ب). این ویژگی‌ها نشان می‌دهد که سنگ‌های آذرین به مناطق فرورانش تعلق دارند (مکدونا و همکاران، ۱۹۹۷).

طیفی از الگوهای REE توزیع نرمال شده با کندریت را

در نمودار تغییرات درصد وزنی  $K_2O$  در برابر کل  $SiO_2$  و  $Na_2O$ ، سنگ‌های آذرین مورد مطالعه عمدها در محدوده کالک‌آلکالن قرار می‌گیرند. همچنین مقادیر اکسیدهای  $CaO$ ,  $MgO$ ,  $Fe_2O_3$ ,  $P_2O_5$ ,  $TiO_2$  آذرین نفوذی و خروجی محدوده نخیلاب با افزایش مقدار سیلیس روند کاهشی نشان می‌دهند. در همین حال، مقادیر  $K_2O$  و  $Na_2O$  روند افزایشی را نشان می‌دهند (شکل ۱۳). این نشان می‌دهد که در فرآیند تمایز ماقمایی، مقادیر اکسیدهای  $TiO_2$ ,  $Fe_2O_3$ ,  $P_2O_5$  از  $CaO$  و  $MgO$  بازیک به ماقمای اسیدی افزایش می‌یابد. به تدریج، با نزدیک شدن به فرآیند تمایز ماقمایی نهایی، این عناصر ناسازگار، فلدسپات‌های اسیدی بیشتری می‌سازند. کاهش مقدار  $CaO$  در مقابل افزایش  $SiO_2$  به دلیل تشکیل پلاژیوکلازهای غنی از کلسیم و کلینوپیروکسن و ناپدید شدن تدریجی  $CaO$  از ماقمای مذاب در ابتدای فرآیند

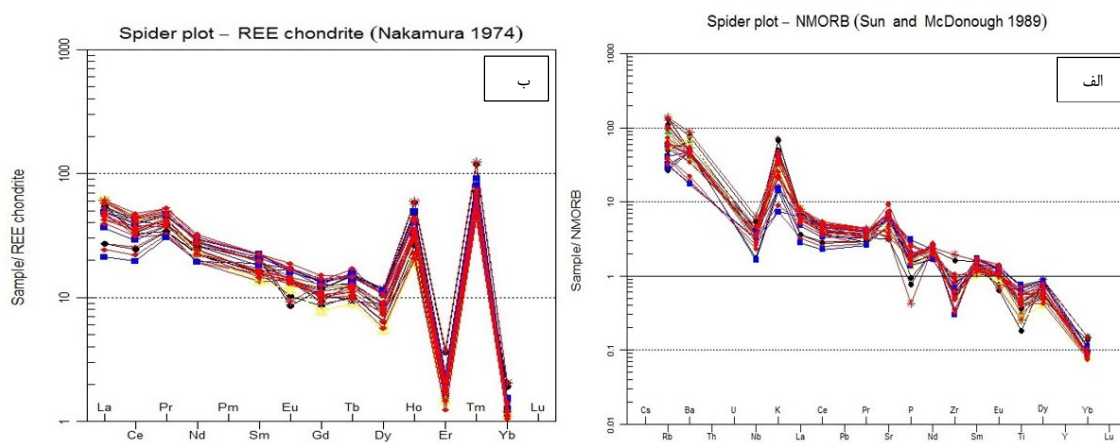
مقادیر GdN/YbN از ۱/۹۸ تا ۰/۹۰ (به طور متوسط ۱/۵۸) متغیر است. این نسبت‌ها عنصر خاکی کمیاب سنگین تقریباً مسطح (HREE) را در الگوهای REE نرمال شده در مقایسه با مقادیر کندریت منعکس می‌کنند (ناکامورا، ۱۹۷۴).

برای ۲۵ نمونه آنالیز شده نشان می‌دهد. نسبت LaN/SmN بین ۷/۲۷ و ۱/۸۳ (به طور متوسط ۴/۲۱) متغیر است که غنی‌سازی در عناصر خاکی کمیاب سبک (LREE) را نشان می‌دهد. مقادیر ناهنجاری Eu از ۱/۴۴ تا ۰/۶۶ (به طور متوسط ۱/۰۸) متغیر است که نشان‌دهنده ناهنجاری Eu منفی برای نمونه‌های مورد مطالعه است و



شکل ۱۳. تغییرات برخی از عناصر اصلی و فرعی در برابر تغییرات  $\text{SiO}_2$

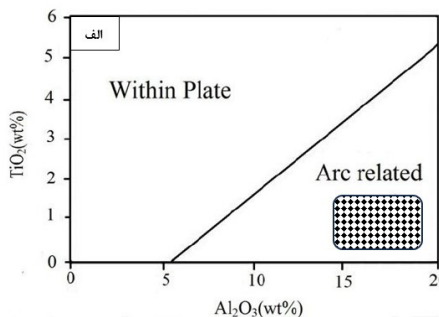
Fig. 13. Variation of some major and minor elements versus of  $\text{SiO}_2$  variations



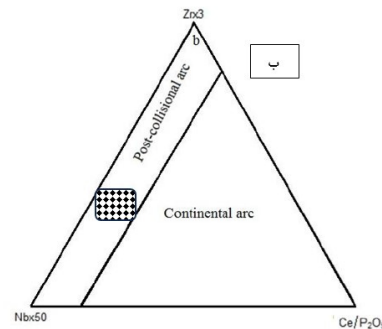
شکل ۱۴. (الف) هنجار شده عناصر نسبت به مورب و (ب) هنجار شده عناصر نسبت به کندریت

Fig. 14. A) Ratio of the normalized elements compared to MORB. B) Ratio of normalized elements compared to chondrite

(شکل ۱۵ الف و ب). فراوانترین سنگ‌های آذرین در این محدوده دیوریت، آندزیت و داسیت هستند که بیشتر در محیط‌های فرورانش حاشیه‌قاره یافت می‌شوند (ولیسون، ۱۹۸۹).



**۴-۵-۳- جایگاه تکتونیکی**  
استفاده از نمودار  $\text{Al}_2\text{O}_3$  در مقابل  $\text{TiO}_2$  برای نشان دادن محیط تکتونیکی بهترین است. بر اساس این نمودار تمامی نمونه‌های محدوده مورد مطالعه در قوس و محیط حاشیه قاره قرار دارند و متعلق به شرایط بعد از تصادم می‌باشند.



شکل ۱۵. الف) نمودار  $\text{TiO}_2$  در مقابل  $\text{Al}_2\text{O}_3$  برای نشان دادن محیط تکتونیکی و ب) دیاگرام مثلثی تعیین محیط تکتونیکی (مولر و همکاران ۱۹۹۷).

Fig. 15. A) Chart of  $\text{TiO}_2$  vs.  $\text{Al}_2\text{O}_3$  for tectonic setting. B) Triangular diagram for determine of the tectonic environment. (Müller et al. 1997).

تعلق دارند و تمامی نمونه‌های محدوده مورد مطالعه در محیط قوس حاشیه قاره و پس از تصادم قرار دارند.

#### ۵- قدردانی

از راهنمایی‌های ارزشمند و بی‌دریغ اسناید گروه زمین‌شناسی دانشگاه فردوسی مشهد و همچنین داوران محترم دو فصلنامه یافته‌های نوین زمین‌شناسی کاربردی نهایت تشکر و قدردانی را دارم.

#### References

- Aghanabati, A (2004) The Geology of Iran, Geological Survey of Iran, Tehran, 586 p. (in Persian)
- Arjmandzadeh, R., Karimpour, M. H., Mazaheri, S. A., Santos, J. F., Medina, J. M., Homam, S. M (2011) Sr-Nd isotope geochemistry and petrogenesis of the Chah-Shaljami granitoids (Lut Block, Eastern Iran), Journal of Asian Earth Sciences, 41 (3): 283-296. doi.org/10.1016/j.jseaes.2011.02.014.
- Bagherifar, A., Rahimi, B., Boomeri, M (2015) Investigation of structural distribution of gold mineralization in "Sefidsang" area (SE-Zahedan, Iran), Journal of Biodiversity and Environmental Sciences (JBES) ISSN: 2220-6663 (Print) 2222-3045 (Online) 6 (6): 528-533.
- Cox, K. G., Bell, J. D., and Pankhurst, R. J (1979) The Interpretation of Igneous Rocks, G. Allen &

**۴- نتیجه‌گیری**  
محدوده نخیلاب (نخلیله) در محیط تکتونیکی بین دو گسل امتدادلغز کهورک و نصرت‌آباد قرار دارد. و تحت تأثیر مؤلفه کششی S1 قرار گرفته که این امر سبب تسهیل نفوذ توده‌های نفوذی در محدوده شده است. ترکیب شیمیایی سنگ‌های آذرین، در محدوده سنگ‌های بازیک، متوسط تا اسیدی بوده و عمدتاً به ترتیب فراوانی از نوع دیوریتها، آندزیت‌ها، گرانوویوریت و گابرو هستند.

دو واحد هورنبلندیوریت پورفیری و معادل خروجی آن‌ها آندزیت‌های قرمز و سبز فراوان‌ترین واحدهای سنگ‌شناسی محدوده بوده که آندزیت‌های سبزرنگ متحمل دگرسانی پروپلتیک شده و فاقد کانی‌سازی مهم و اقتصادی هستند. یکی از مهم‌ترین و گسترده‌ترین آلتراسیون‌های موجود در محدوده آلتراسیون آرژیلیکی می‌باشد که عمدتاً بر واحدهای دیوریت پورفیری منطبق بوده و مهم‌ترین کانی‌سازی‌های محدوده را شامل می‌شود. کالکوپیریت و اسفالریت در مرحله هیپوزن و کانی‌های بورنیت، کالکوسیت و کولیت در مرحله سوپرزن تشکیل شده‌اند. مقدار غنی‌سازی LREE نسبت به HREE آشکارتر است، و تفسیر نمودارهای تعیین محیط تکتونیکی نیز نشان می‌دهد که سنگ‌های آذرین به مناطق فرورانش

- Nakamura, N (1974) Determination of REE, Ba, Fe, Mg, Na and K in carbonaceous and ordinary chondrites, *Geochimica et Cosmochimica Acta*, 38: 757-775.
- Pengyi, L., Li, H., Zhengwei, H., Yansong, L., Hui, D., Rui, Q., Jiaxian, W., Yang, Zh., Yun, W (2021) Research on remote sensing prospecting technology based on multi-source data fusion in deep-cutting areas, *Ore Geology Reviews*, 138, doi. org /10.1016 / j. ore geo rev .2021.104359.
- Philipp, R., Gerhard, W (2007) Variable regimes in magma systems documented in plagioclase zoning patterns: El Misti stratovolcano and Andahua monogenetic cones, *J Volcan Geotherm Res*, 165: 142–162. doi. org /10.1016 /j. j volgeores . 2007.06.002.
- Walker, R. T., Khatib, M. M (2006) Active faulting in the Birjand region of NE Iran, Advancing earth and space science, doi. org /10.1029/2005TC001871.
- Wilson, M (1989) Igneous Petrogenesis: A Global Tectonic Approach, Unwin Hyman, London, 466 p.
- Yavari, F., Boomeri, M (2013) Petrography and geochemistry of igneous rocks Nakhileh and its relationship with gold mineralization and copper-Zahedan North West, 5th Symposium of Iranian Society of Economic Geology. (in Persian).
- Unwin, London. doi.org/10.1007/978-94-017-3373-1.
- Dora, M. L., Randive, K. R (2015) Chloritization along the Thanewasna shear zone, Western Bastar Craton, Central India: Its genetic linkage to Cu-Au mineralization, *Ore Geology Reviews*, 70, doi.org/10.1016/j. oregeorev .2015.03.018.
- Francisco, J. T., Cecilia, V., David, R. C., Lejun, Zh (2018) Lithological and Hydrothermal Alteration Mapping of Epithermal, Porphyry and Tourmaline Breccia Districts in the Argentine Andes Using ASTER Imagery, *Remote Sens*, 10 (2), doi.org/10.3390/rs10020203.
- Hedayati, N (2014) Investigation of hydrothermal alteration in Nakhilab Cu bearing plutonic-volcanic complex, northwest of Zahedan, 6th Symposium of Iranian Society of Economic Geology. (in Persian)
- John, C. M., Lawrence, C., R (2011) Spectral assessment of new ASTER SWIR surface reflectance data products for spectroscopic mapping of rocks and minerals, *Remote Sensing of Environment*, Volume 114, Issue 9, 15 September 2010, 2011-2025. doi.org/10.1016/j.rse.2010.04.008.
- Kruse, F. A., Lefkoff, A. B., Boardman, J. W., Heidebrecht, K. B., Shapiro, A.T., Barloon, P. J., Goetz, A. F. H (1993) The Spectral Image Processing System (SIPS) - Interactive Visualization and Analysis of Imaging Spectrometer Data, *Remote Sensing of Environment*, Special issue on AVIRIS, 44: 145 - 163. doi.org/10.1016/0034-4257(93)90013-N.
- Le Bas, M. J., Le Maitre, R. W., Streckeisen, A., and Zanettin, B (1986) A Chemical Classification of Volcanic Rocks Based on the Total Alkali-Silica Diagram, *Journal of Petrology*, 27 (3) 745-750. doi.org/10.1093/petrology/27.3.745.
- Malekzadeh shafaroudi, A., Karimpour, M. H., Stern, C. R (2014) The Khopik porphyry copper prospect, Lut Block, Eastern Iran: Geology, alteration and mineralization, fluid inclusion, and oxygen isotope studies. *Ore Geology Reviews*, 65. doi: 10.1016/j.oregeorev .2014.04.015.
- McDonough, W. F., and Sun, S. S (1995). Composition of the Earth, *Chemical Geology*, 120: 223-253.
- Morata, D., Aguirre, L (2003) Extensional lower Cretaceous volcanism in the Coastal Range (29°20'-30°S), Chile: geochemistry and petrogenesis, *Journal of South American Earth Sciences* 16: 459-476. doi. 10.1016/j.jsames.2003.06.001.
- Muller, D., Groves, D. I (1997) Potassic igneous rocks and associated gold - copper mineralization. Springer.

## Geology, Remote sensing, Mineralogy, Alteration and Geochemistry studies in the Nakhilab area (southeast of Iran)

A. Bagherifar<sup>1</sup>, S. A. Mazaheri<sup>2\*</sup> and A. Malekzadeh shafaroudi<sup>3</sup>

1- Ph. D. student, Dept., of Geology, Faculty of Science, Ferdowsi University, Mashhad, Iran  
2, 3- Prof., Dept., of Geology, Faculty of Science, Ferdowsi University, Mashhad, Iran

\* Samazaheri2016@gmail.com

Received: 2023.7.4 Accepted: 2023.11.27

### Abstract

Nakhilab (Nakhileh) area is located in the southeast of Iran and 145 km northwest of Zahedan. Sedimentary units of the flysch zone of eastern Iran and porphyry and andesite diorite units are the most important lithological units. All the existing lithological units in this area have been affected by the shearing movements of Nosratabad and Kahorak faults, which have caused the creation of tensile structures in the area and probably facilitated the penetration of diorite units. Field and laboratory studies showed that the most abundant lithology in the area is hornblende diorite porphyry intrusions and the most important mineralization has occurred there, and the most abundant main minerals are semi-shaped plagioclase crystals (60-75 percent), Hornblende (5-10%), biotite (3-5%), quartz and clinopyroxene (about 5%). Chalcopyrite, pyrite, bornite, and covellite are abundant minerals in the mineralogical studies. In the paragenesis sequence, pyrite, chalcopyrite, and sphalerite minerals are in the early stages (hypogene) and bornite, chalcocite, and covellite are secondary minerals and supergene stage. RS studies indicate the presence of argillic, propylitic, phyllitic, and iron oxide alterations. Geochemical investigations showed that the igneous rocks range from gabbro to granodiorite and the chemical composition of igneous rocks ranges from basic, to medium to acidic, which are mainly diorite, andesite, granodiorite, and gabbro respectively. The amount of LREE enrichment is more obvious than that of HREE, these features indicate that the igneous rocks belong to subduction zones. All the samples studied in this area are located in the arc and the environment of the post-collision of the continental margin.

**Keywords:** Nakhilab, Remote sensing, Alteration, Mineralogy, Geochemistry

### Introduction

The Nakhilab (Nakhileh) area is located in southeastern Iran, in Sistan and Baluchestan Province, 145 kilometers northwest of Zahedan city, at a geographical location of 37°18'30" to 15°19'30" north latitude and 58°51'59" to 05°53'59" east longitude. According to the division of the major sedimentary-structural zones of Iran (Agha Nabati, 2004), this area is located tectonically on the border between the eastern Iranian flysch zone and the Lut block. Since the Kahorak fault (the southwestern branch of the southern part of the Nehbandan fault) separates sharply the lithological units of the western area from the Lut block, it seems that this area is part of the eastern Iranian flysch zone. Mineralogical and petrographic studies indicated the presence of porphyry igneous rocks of diorite and quartz diorite in the Nakhileh area. Since this area, based on preliminary evidence and studies and the

presence of various types of argillic, propylitic, sericite and gossan alteration rich in copper mineralization and the presence of anomalies of gold mineralization, can be classified as a porphyry copper deposit, therefore, using economic geological knowledge, this research tries to help in better and more accurate exploration of this deposit by utilizing new findings in geology, mineralogy, remote sensing, alteration and geochemistry.

### Materials and Methods

Using ASTER and LANDSAT satellite images and special processing software such as ENVI 4.5 Win, and with the help of RGB and SAM techniques, the lithologies and alterations in the area were distinguished. Also, suitable samples from fresh and less altered rock units were analyzed by XRF to determine the main oxides with a detection limit of 0.5 to 0.05 weight percent and minor and trace elements with ICP-MS by ZarAzma Mineral Analysis

Company, with a detection limit for trace elements between 0.01 ppm and 1 ppm. Analysis of selected samples from altered units to separate and identify clay minerals was performed by XRD in the laboratory of the Geological Organization of Tabriz Branch.

### Results and Discussion

In order to observe the altered zones in this area, the RGB=468 band combination was first used. In this band combination, the minerals related to the propylitic zone are observed in the upper and lower parts of the area in dark and light green, the minerals related to the argillic zone are observed in pink in the central part of the area, and the carbonates are observed in yellow to brown. By applying spectral angle mapping methods to OLI sensor data, areas with iron oxides can be better distinguished and identified due to the higher number of VNIR bands compared to the ASTER sensor. Also, by applying the SAM method to ASTER sensor data, areas with phyllitic alteration indicator minerals (sericite), propylitic indicator minerals (epidote, chlorite, and calcite), and argillic indicator minerals (kaolinite) were well revealed.

Mineralization is mainly seen in diorite and andesite units and two forms: disseminated and veinlet. In the studied samples, minerals such as pyrite, chalcopyrite, and sphalerite are present as primary minerals, and minerals such as bornite, chalcocite, and covellite are present as secondary minerals. Pyrites are seen with a rounded appearance and decomposed states, which indicates the priority of their formation over other minerals. Accordingly, chalcopyrites were formed in later stages, and finally, sphalerites.

The results of XRD analyses of these rocks showed that the most important clay minerals formed in this alteration are mainly kaolinite, montmorillonite, illite, pyrophyllite, and a smaller amount of palygorskite. Propylitic alteration with the presence of chlorite and large epidote indicator minerals is seen in green andesite units. The presence of epidote and chlorite in the altered rocks indicates a temperature of about 220 to 340 degrees Celsius. These units and their related propylitic

alteration in this area lack important and valuable mineralization. The main mineralization is observed in the phyllitic zone. The chemical composition of igneous rocks ranges from basic to medium to acidic, which are, in order of abundance, diorite, andesite, granodiorite, and gabbro. REE elements in all samples show enrichment compared to their values in the chondrite composition, and the enrichment of LREE is more obvious than that of HREE. These features indicate that the igneous rocks belong to subduction zones. Using the TiO<sub>2</sub> vs. Al<sub>2</sub>O<sub>3</sub> diagram, all samples in the study area are located in the arc and continental margin environment and belong to post-collisional conditions.

### Conclusions

The Nakhilab (Nakhileh) area is located in the tectonic environment between the two strike-slip faults of Kahorak and Nosratabad. It is under the influence of the S1 tensile component, which has facilitated the penetration of intrusive masses in the area. The chemical composition of igneous rocks in the area is basic, medium to acidic, and is mainly composed of diorites, andesites, granodiorite, and gabbro, in order of abundance. The two hornblende-diorite porphyry units and their output equivalents, red and green andesites, are the most abundant petrological units in the area, with the green andesites undergoing propylitic alteration and lacking significant and economic mineralization. One of the most important and widespread alterations in the area is the argillic alteration, which mainly coincides with the porphyry diorite units and includes the most important mineralizations in the area. Chalcopyrite and sphalerite were formed in the hypogene stage, and bornite, chalcocite, and covellite minerals were formed in the supergene stage. The enrichment of LREE is more obvious than that of HREE, and the interpretation of the tectonic setting diagrams also shows that the igneous rocks belong to subduction zones, and all the samples of the studied area are located in the continental margin arc environment and post-collisional.